

2. Падерно П.И., Попечителев Е.П. Надежность и эргономика биотехнических систем / Под общ. ред. проф. Е.П. Попечителева. – СПб.: ООО «Техномедиа» / Элмор, 2007. 264 с.
3. Магомедов Д.А., Попечителев Е.П., Ахлаков М.К., Алиев Э.А. Системы с переменными во времени параметрами в медико-биологических исследованиях / Монография. – СПб.: Изд-во «Политехника», 2011. 281 с.
4. Гусев В.Г. Получение информации о параметрах и характеристиках организма и физические методы воздействия на него / Уч. пособие. – М.: Машиностроение, 2004. 597 с.
5. Магомедов Д.А. Аппаратно-методическое обеспечение медико-биологических исследований на основе систем с переменными во времени параметрами / Монография. – Махачкала: РИО ДГУ, 2004. 250 с.
6. Попечителев Е.П. Задачи поэтапного моделирования при синтезе биотехнических систем // Известия СПбГЭТУ. 2008. Вып. 4. С. 67-73.
7. Попечителев Е.П. Метод редукции в задачах метрологического анализа алгоритмов обработки фотометрической информации // Вестник Метрологической академии. 2000. Вып. 5. С. 6-17.

Давуд Ахмеднабиевич Магомедов,
д-р техн. наук, профессор,
кафедра «Биотехнические и
медицинские аппараты и системы»,
ФГБОУ ВО «Дагестанский
государственный технический университет,
г. Махачкала, Республика Дагестан,
Евгений Парфирович Попечителев,
д-р техн. наук, профессор,
кафедра «Биотехнические системы»,
Санкт-Петербургский государственный
электротехнический университет «ЛЭТИ»
им. В.И. Ульянова,
г. С.-Петербург,
e-mail: admi52@mail.ru

О.Н. Моргун, К.Э. Немченко

Сравнительный анализ маммографии на основе томосинтеза с традиционной маммографией

Аннотация

Приводятся результаты исследования качества изображений, полученных на цифровом рентгеновском маммографе, в котором использованы новые подходы к решению проблемы томосинтеза как в способе получения проекций, так и в методе восстановления трехмерной структуры молочной железы. Целью статьи является сравнительный анализ плоской (2D) и трехмерной (3D) маммографии.

Многочисленные исследования методики томосинтеза [1], [2], а именно сравнения диагностических свойств стандартной плоской 2D-цифровой маммографии и объемного 3D-цифрового томосинтеза молочной железы (МЖ) на фантомах и в клинической практике на пациентах, показали, что томосинтез имеет существенное преимущество при обнаружение опухолей (онкообразований), однако существенно проигрывает 2D-маммографии при обнаружении микрокальцинатов [3]. Это противоречие еще сильнее проявляется с увеличением максимального угла томосинтеза.

Подробные исследования указали на противоречивые тенденции в томосинтезе [4]: с увеличением угла томосинтеза выявляемость опухолей возрастает, а микрокальцинатов – падает [5]. Тенденция повышения выявляемости опухолей с увеличением угла томосинтеза объясняется уменьшением структурного шума при повышении томографического разрешения (т. е. пространственного разрешения по глубине МЖ), так как в каждом слое (на которые разбивается МЖ) будет меньше структуры железистой ткани, а следовательно, железистая ткань не будет заслонять опухоли или мимикрировать под них [6]. Кроме того, увеличение угла томосинтеза позволяет снизить контраст артефактов, тем самым улучшая видимость объектов исследуемого слоя.

С другой стороны, при увеличении угла томосинтеза увеличивается длина пути, проходимого рентгеновским излучением (РИ) в МЖ, что приводит к уменьшению числа квантов РИ, регистрируемых приемником РИ (ПРИ), а следовательно, к повышению (относительному) квантового шума [5]. Кроме того, прохождение пути большей длины в МЖ приводит к повышению эффективной энергии рентгеновских квантов РИ,

а следовательно, к понижению радиационного контраста микрокальцинатов. Также с увеличением длины пути в МЖ увеличивается уровень рассеянного РИ, что также снижает выявляемость микрокальцинатов [7].

Таким образом, в томосинтезе присутствует конкуренция между необходимостью увеличения максимального угла томосинтеза для устранения структурного шума и обеспечения высокого томографического разрешения (разрешения по высоте) и необходимостью обеспечения качественных изображений для проекций, сделанных под большим углом, что требует, в частности, неоправданного повышения дозовой нагрузки для этих проекций [8].

Здесь необходимо отметить, что большинство маммографов с томосинтезом обладают стационарным или поворачивающимся на малый угол ($\pm 2,1^\circ$) ПРИ. Это приводит к тому, что с увеличением томографического угла РИ падает на ПРИ не перпендикулярно, тем самым ухудшая ЧКХ ПРИ (даже для игольчатых люминофоров) и размывая изображения, особенно мелких деталей, которыми являются микрокальцинаты [5].

Также следует отметить, что, кроме физических причин возможного низкого качества восстановления микрокальцинатов, большую роль играют и чисто математические причины (метод восстановления и его реализация). Дело в том, что на качество восстановленных изображений, а следовательно, и на выявляемость микрокальцинатов влияет вид алгоритма восстановления томографических слоев [9]-[11], и при этом очень существенной оказывается роль геометрической калибровки маммографа [12].

На основании вышеуказанных причин, можно сделать вывод, что выявление опухолей, и микрокальцинатов в гомо-

генной (однородной) среде, например в МЖ с большим содержанием жировой ткани и малым присутствием железистой ткани, в стандартном 2D-случае маммографии всегда будет эффективней, чем в случае 3D-томосинтеза. Поэтому для МЖ с большим содержанием жировой ткани и малым присутствием железистой ткани применение томосинтеза является нежелательным. В случае плотных МЖ с большим содержанием железистой ткани томосинтез необходим как средство для понижения вклада структурного шума. Однако сравнительный анализ качества изображений в 3D- и 2D-режимах лучше проводить для гомогенной (однородной) среды без структурного шума, например с помощью фантома RMI-156 («Gammex», США).

Таким образом, рассматриваемая работа посвящена решению проблемы повышения томографического разрешения при больших углах томосинтеза с минимальным ухудшением выявляемости микрокальцинатов по сравнению с 2D-снимками при одинаковых дозовых нагрузках на МЖ.

Описание используемой методики томосинтеза

Основные результаты работы базировались на экспериментальных исследованиях, проведенных на цифровом маммографе с функцией томосинтеза «Медима-3Д» («Мосрентгенпром», РФ), внешний вид которого представлен на рис. 1a. Одной из особенностей этого аппарата является горизонтальное расположение пациентки, что позволяет проводить томографические широкоугловые исследования.

Это устройство отличается двумя принципиальными свойствами от других похожих и используемых на практике устройств [13].

Во-первых, ПРИ и источник РИ совершают совместное вращение вокруг МЖ. В отличие от аппаратов с неподвижным ПРИ [14] в данном устройстве рентгеновское излучение падает перпендикулярно на игольчатый люминофор приемника не только в прямых, но и в боковых проекциях. Это позволяет обеспечить как высокую квантовую эффективность детектирования (порядка 78 % на частоте, близкой к нулевой), так и высокое пространственное разрешение для проекций, сделанных под большим углом. При этом максимальный угол проекции достигает величины 60°, что позволяет достичь на этом устройстве высокого томографического разрешения. Такой угол оказался оптимальным, потому что дальнейшее повышение угла проекции приводит, как отмечалось выше, к ухудшению выявляемости микрокальцинатов.

Во-вторых, особенностью данного устройства является высокое пространственное разрешение в плоскости изображения. Это разрешение достигает величины 20 пар линий/мм во всех направлениях как вдоль, так и поперек сканирования (в режиме томосинтеза осуществляется бинирование 2 × 2). Такое высокое разрешение необходимо для повышения выявляемости микрокальцинатов, тонкой структуры железистой ткани и кровеносных сосудов. Высокого разрешения удалось добиться с помощью применения метода дискретного импульсного сканирования [15], [16].



Рис. 1. Внешний вид (а) и принцип действия рентгеновского канала (б) цифрового маммографа с функцией томосинтеза «Медима-3Д» («Мосрентгенпром», РФ): 1 – движущийся источник РИ; 2 – изогнутая компрессионная пластина; 3 – сжатая МЖ; 4 – изогнутая поддерживающая пластина; 5 – центр вращения; 6 – криволинейные траектории детектора в ПРИ при получении 2D-снимка

При работе в режиме томосинтеза производится $N = 15$ двухмерных проекций J_n , которые нумеруются индексом $n = 0, \pm 1, \pm (N-1)/2$. Для проведения проекции вся система «ПРИ – источник РИ» поворачивается вокруг оси, проходящей через МЖ, на угол, кратный примерно 4,29°. Таким образом, крайние проекции выполняются под углом $\pm 30^\circ$. Весь объем исследуемого объекта разбивается на слои I_m , где $m = 1, \dots, M$, которые подлежат восстановлению. Количество слоев M определяется их толщиной, которая, в свою очередь, определяется величиной томографического разрешения.

Далее предполагается, что каждая из проекций является суперпозицией проекций каждого из слоев:

$$J_n = \sum_{m=1}^{m=M} J_{nm} = \sum_{m=1}^{m=M} G_{nm} I_m, \quad (1)$$

где J_{nm} – n -я проекция m -го слоя, а G_{nm} – операторы прямого проецирования, которые связывают voxels слоя I_m с пикселями проекции J_n .

В качестве искомых величин в работе рассматриваются центральные проекции слоев J_{0m} , для которых было получено следующее уравнение:

$$J_{0m} = \frac{1}{N} \sum_n F_{0n}(m) J_n - \frac{1}{N} \sum_n F_{0n}(m) \sum_{k \neq m} F_{0n}^{-1}(k) J_{0k}. \quad (2)$$

Здесь операторы

$$F_{0n}(m) = G_{0m} G_{nm}^{-1} \quad (3)$$

описывают локальные аффинные преобразования n -й проекции в нулевую и определяются из априорной информации, которую получают в результате предварительной калибровки томографической системы. Такой подход позволяет избавиться от сложностей определения геометрических параметров системы, которые используются в других алгоритмах томосинтеза, и вследствие этого получить достаточно хорошие параметры восстановления.

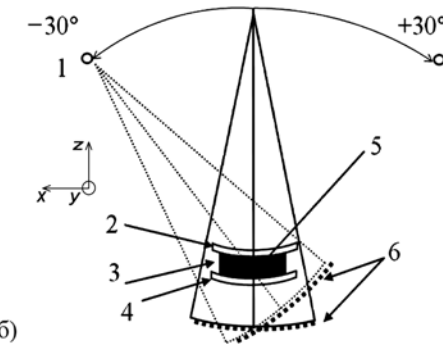
В частности, эта методика позволила добиться толщины слоя МЖ в 250 мкм, при этом не ухудшив разрешения в слое по сравнению с обычными 2D-изображениями.

Результаты исследований и обсуждение

В качестве критерия томографического разрешения (широко применяемого другими авторами [6], [10], [17]) используется функция расширения артефактов $ASF(z)$. Графики зависимостей $ASF(z)$ для объектов, имитирующих микрокальцинаты размером 540 мкм в фантоме RMI-156 («Gammex», США), представлены на рис. 2. Теоретическая зависимость $ASF(z)$ определяется формулой

$$ASF(z) = \frac{1}{N} \sum_{n=-\frac{(N-1)}{2}}^{\frac{(N-1)}{2}} \sqrt{1 - \frac{(z - z_0)^2}{r^2} \sin^2(\alpha_n)}, \quad (4)$$

где дискретный угол $\alpha_n = 60^\circ/(N-1) \approx 4,29^\circ$ – угол между проекциями в томосинтезе. Расчет проводился в модели микрокальцината сферической формы с радиусом $r = 270$ мкм. Из



рисунка видно хорошее соответствие полной ширины на полу- высоте (ПШПВ) теоретической зависимости и экспериментальных данных.

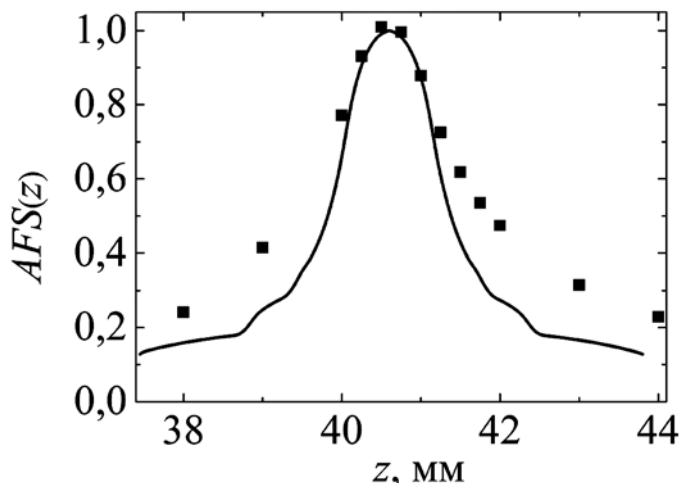


Рис. 2. Функция $ASF(z)$, усредненная по группе из шести объектов размером 540 мкм, которые имитируют микрокальцинаты в фантоме RMI-156: сплошная линия – расчет по формуле (4); точки – экспериментальные данные, относительная среднеквадратичная погрешность которых не превышает 25 %

Величина ПШПВ для $ASF(z)$ микрокальцината с диаметром 540 мкм в фантоме RMI-156 оказалась равной 2,5 мм, что значительно меньше величины ПШПВ, равной 4,1 мм, полученной авторами работы [17].

В проведенных расчетах толщина томографического слоя принималась равной 250 мкм. Такая толщина слоя определялась исходя из того, что при меньших толщинах ПШПВ $ASF(z)$ не уменьшается, а при увеличении толщины слоя начинается рост ПШПВ $ASF(z)$. Столь малое по сравнению с исследованиями [17] значение томографического разрешения прежде всего связано с большим углом максимального отклонения для крайней боковой проекции в $\pm 30^\circ$. Здесь стоит отметить, что в других аппаратах также применяют такие углы [4]-[6], [18]. Однако в исследуемой методике применяется одновременное вращение ПРИ и излучателя вокруг МЖ, что дает преимущество при восстановлении слоев по сравнению с другими методиками, где используются неподвижные ПРИ [14].

Наряду с необходимостью обеспечения высокого томографического разрешения, для качественной диагностики микрокальцинатов необходимо получить пространственное разрешение в фокальной плоскости, сравнимое с пространственным разрешением плоского 2D-изображения. В качестве критерия сравнения был выбран анализ ПШПВ дэнситограмм рентгеновского изображения, построенных вдоль диаметров объектов, имитирующих микрокальцинаты размером 540 и 320 мкм

фантома RMI-156 («Gammex», США). Такие дэнситограммы строились как для рентгеновского изображения в плоском 2D-снимке, так и для рентгеновского изображения, полученного методом 3D-томосинтеза в фокальном слое, при одинаковых же геометрических положениях фантома, напряжении на аноде рентгеновской трубке $U = 35$ кВ и общем количестве электричества 60,8 мА·с.

Дэнситограммы строились и сравнивались в направлении оси x (вдоль направления томосинтеза) и вдоль оси y (поперек направления томосинтеза). Результаты измерений, представленные на рис. 3 и в табл. 1, показывают хорошее соответствие геометрических размеров микрокальцинатов в обоих направлениях.

Таблица 1
Значения ПШПВ дэнситограмм для объекта размером 540 мкм

Источник	ПШПВ	Примечания
Настоящая статья	0,5 мм	Вдоль направления томосинтеза
	0,5 мм	Поперек направления томосинтеза
Работа [10]	0,691 мм 0,561 мм	До обработки После обработки
Работа [9]	0,51 мм	–

Выводы

В статье приводятся результаты исследования технических параметров изображений, полученных на цифровом рентгеновском маммографе, в котором использованы новые подходы к решению проблемы томосинтеза: импульсное дискретное сканирование для получения плоских 2D-снимков, квазикальянные аффинные преобразования для восстановления трехмерной структуры молочной железы в томосинтезе. Показано, что совместное применение данных методик позволяет достичь высокого томографического разрешения (толщина томографического слоя – 250 мкм, ПШПВ функции $ASF(z)$ – 2,5 мм); при этом пространственное разрешение в восстановленном 3D-слое остается на уровне плоского 2D-снимка при одинаковых дозовых нагрузках.

Список литературы:

1. Mackenzie A. et al. Effect of dose on the detection of microcalcification clusters for planar and tomosynthesis imaging / Proc. of IWDM 2016. Malmo, Sweden. PP. 142-149.
2. Timberg P., Baath M., Andersson I., Mattsson S., Tinberg A., Ruschin M. Visibility of micro-calcification clusters and masses in breast tomosynthesis image volumes and digital mammography: A 4AFC human observation study // Med. Phys. 2012. Vol. 39. № 5. PP. 2431-2437.

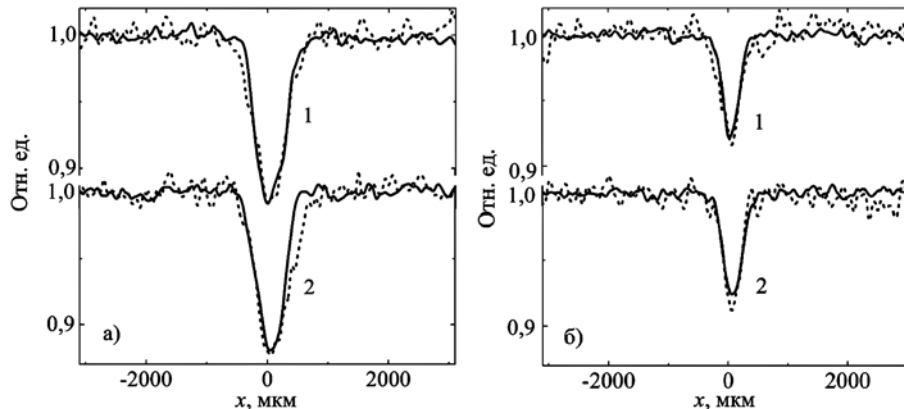


Рис. 3. Сравнение дэнситограмм микрокальцината в 2D- (сплошная линия) и 3D- (пунктирная линия) случаях, построенных вдоль (1) и поперек (2) направления томосинтеза для микрокальцинатов размером 540 мкм (а) и 320 мкм (б). Относительная среднеквадратичная погрешность не превышала 5 %

3. Cockmartin L. et al. Comparison of digital breast tomosynthesis and 2D digital mammography using a hybrid performance test // Phys. Med. Biol. 2015. Vol. 60. № 10. PP. 3939-3958.
4. Goodsitt M. et al. Digital breast tomosynthesis: Studies of the effects of acquisition geometry on contrast-to-noise ratio and observer preference of low-contrast objects in breast phantom images // Phys. Med. Biol. 2014. Vol. 59. № 19. PP. 5883-5902.
5. Chan H.P. et al. Digital breast tomosynthesis: Observer performance of clustered microcalcification detection on breast phantom images acquired with an experimental system using variable scan angles, angular increments, and number of projection views // Radiology. 2014. Vol. 273. № 3. PP. 675-685.
6. Sechopoulos I., Ghetti C. Optimization of the acquisition geometry in digital tomosynthesis of the breast // Med. Phys. 2009. Vol. 36. № 4. PP. 1199-1207.
7. Wu G., Mainprize J., Boone J., Yaffe M. Evaluation of scatter effects on image quality for breast tomosynthesis // Med. Phys. 2009. Vol. 36. № 10. PP. 4425-4432.
8. Chawla A., Lo J., Baker J., Samei E. Optimized image acquisition for breast tomosynthesis in projection and reconstruction space // Med. Phys. 2009. Vol. 36. № 11. PP. 4859-4869.
9. Zhao B. et al. Experimental validation of a three-dimensional linear system model for breast tomosynthesis // Med. Phys. 2009. Vol. 36. № 1. PP. 240-251.
10. Mota A. et al. 3D Total Variation Minimization Filter for Breast Tomosynthesis Imaging / Proc. of 13th Int. Workshop IWDM 2016. Malmö, Sweden. PP. 484-492.
11. Lu Y. et al. Adaptive diffusion regularization for enhancement of microcalcifications in digital breast tomosynthesis (DBT) reconstruction / Proc. SPIE 7961, Medical Imaging 2011: Physics of Medical Imaging, 796117. March 16, 2011.
12. Li X., Zhang D., Liu B. A generic geometric calibration method for tomographic imaging systems with flat-panel detectors – A detailed implementation guide // Med. Phys. 2010. Vol. 37. № 7. PP. 3844-3854.
13. Vadantham S., Karrelas A., Vijaraghavan G., Kopaks D. Digital Breast Tomosynthesis: State of the Art // Radiology. 2015. Vol. 277. № 3. PP. 663-684.
14. Sompel D., Brady S.M., Boone J. Task-based performance analysis of FBP, SART and ML for digital breast tomosynthesis using signal CNR and Channelised Hotelling Observers // Med. Im. An. 2011. Vol. 15. № 1. PP. 53-70.
15. Моргун О.Н. Устройство для визуализации молочной железы пациента рентгеновским излучением в режиме томосинтеза или маммографии / Патент на изобретение РФ № 2553505. 2014.
16. Конончук Р.Д., Моргун О.Н., Немченко К.Е. Пространственное разрешение в направлении сканирования в приемниках, использующих накопление сигнала с временной задержкой // Медицинская техника. 2014. № 5. С. 22-25.
17. Tucker A., Lu J., Zhou O. Dependency of image quality on system configuration parameters in a stationary digital breast tomosynthesis system // Med. Phys. 2013. Vol. 40. № 3. PP. 031917-039.
18. Zhang Y. et al. Comparative study of limited-angle cone-beam reconstruction methods for breast tomosynthesis // Med. Phys. 2006. Vol. 33. № 10. PP. 3781-3795.

Олег Николаевич Моргун,
канд. физ.-мат. наук, директор,
Константин Эдуардович Немченко,
д-р физ.-мат. наук, ст. научный сотрудник,
ООО «Лаборатория рентгеновской
медицинской техники»,
г. Харьков, Украина,
e-mail: nemchenko@bk.ru

B.C. Кубланов, M.B. Бабич, T.C. Петренко

Новые принципы организации нейропротекторной терапии

Аннотация

Рассмотрены принципы организации нейропротекторной терапии с применением аппарата для нейроэлектростимуляции, в котором формируется пространственно-распределенное поле низкочастотных однополярных импульсов тока и реализуется возможность дистанционно изменять структуру этого поля, управлять его биотропными параметрами, мишениями стимуляции и лечебным процессом. Описаны основные схемно-технические решения, реализуемые с помощью микроконтроллеров и электрорадиодизайнеров высокого уровня системной интеграции, которые обеспечивают требования, предъявляемые к персонализированным изделиям медицинской техники, цифровому здравоохранению и телемедицине.

Введение

Актуальнейшими задачами научно-технического прогресса в современном обществе являются увеличение продолжительности и повышение качества жизни человека, поддержание его высокой работоспособности и интеллектуальной активности. Однако при их реализации наблюдается увеличение психической нагрузки вследствие нестабильного развития экономики и непредсказуемых кризисных ситуаций, локальных войн, межнациональных конфликтов и стихийных бедствий. Эти процессы способствуют формированию хронического стресса, деформации личности, росту психических расстройств, и вследствие этого человек теряет способность эффективной переработки информации, когнитивного контроля и принятия решений, нарушаются базовые механизмы социальной адаптации.

Современные подходы к терапии подобных ситуаций строятся на основе нейропротекторной терапии, которая усиливает

активность нервной ткани и ее структурное восстановление в ответ на возникающие патогены. Из специфических нейропротекторов наиболее исследованными и имеющими весомую доказательную базу являются фармакологические препараты. На сегодняшний день большая группа препаратов и методов, которые были результативны в эксперименте, оказались неэффективными в лечебной практике [1].

В последние годы активно развиваются нефармакологические нейропротекторные методы, в которых лечебный эффект достигается с помощью нетепловых физических полей. Более 20 лет назад было предложено использовать для этих целей пространственно-распределенное поле низкочастотных однополярных импульсов тока для стимуляции шейных ганглиев симпатической нервной системы [2]. Аппарат «СИМПАТОКОР-01», реализующий эти принципы, включен в Государственный реестр медицинских изделий России (регистрационные удостоверения № ФСР 2007/00757 от 28.09.2007). Медицинские методики, использующие при лече-